

КООРДИНАЦИОННЫЕ СОЕДИНЕНИЯ

УДК 547.979

СИНТЕЗ, ХИМИЧЕСКОЕ СТРОЕНИЕ И СПЕКТРАЛЬНЫЕ  
ХАРАКТЕРИСТИКИ В ОСНОВНОМ И ВОЗБУЖДЕННОМ СОСТОЯНИЯХ  
(ПОРФИРИНАТО)(ХЛОРО)ИНДИЯ(III) И ЕГО КОМПЛЕКСОВ С С<sub>60</sub>  
И ПИРИДИЛЗАМЕЩЕННЫМ ФУЛЛЕРО[60]ПИРРОЛИДИНОМ

© 2023 г. Е. Н. Овченкова<sup>a</sup>, \*, Н. Г. Бичан<sup>a</sup>, Т. Н. Ломова<sup>a</sup>

<sup>a</sup>Институт химии растворов им. Г.А. Крестова РАН, ул. Академическая, 1, Иваново, 153045 Россия

\*e-mail: enk@isc-ras.ru

Поступила в редакцию 25.04.2023 г.

После доработки 13.07.2023 г.

Принята к публикации 14.07.2023 г.

Получены новые комплексы [5,10,15,20-тетра(4-метоксифенил)порфинато](хлоро)индия(III) ((Cl)InTPP(*p*-OCH<sub>3</sub>)<sub>4</sub>) с незамещенным С<sub>60</sub> и 1-метил-2-(пиридин-4'-ил)-3,4-фуллеро[60]пирролидином (РуС<sub>60</sub>) в толуоле. Константы устойчивости комплексов 1 : 1 (диад) определены с помощью электронной и флуоресцентной спектроскопии. Диады охарактеризованы методами ИК- и <sup>1</sup>Н ЯМР-спектроскопии. Установлено, что флуоресценция (Cl)InTPP(*p*-OCH<sub>3</sub>)<sub>4</sub> тушится при постепенном добавлении фуллеренов; определены численные значения констант тушения Штерна–Фольмера (*K*<sub>SV</sub>). С использованием метода фемтосекундной импульсной лазерной спектроскопии получены важнейшие характеристики переноса заряда в диадах (время жизни состояний с разделенными зарядами, константы разделения и рекомбинации зарядов), необходимые для дальнейшего рассмотрения диад на основе порфириновых комплексов индия(III) в качестве систем со свойством фотоиндуцированного переноса электрона.

**Ключевые слова:** индий(III)порфирин, фуллерен С<sub>60</sub>, фуллеро[60]пирролидин, донорно-акцепторный комплекс, кинетика реакции образования, спектральные характеристики

**DOI:** 10.31857/S0044457X23600652, **EDN:** DJDWNRN

ВВЕДЕНИЕ

Донорно-акцепторные пары (диады), в которых в качестве доноров электронов выступают металлопорфирины, перспективны как системы с возможностью фотоиндуцированного переноса электронов [1–7]. Комpleксы порфиринов с индием(III) характеризуются специфическими фотофизическими свойствами, а именно: длительным временем жизни возбужденного триплетного состояния, низкими временем жизни и квантовым выходом флуоресценции, высоким квантовым выходом генерации синглетного молекулярного кислорода [8]. Они образуют перспективные в различных областях науки и практики молекулярные и надмолекулярные системы. Так, на основе [5,10,15,20-тетра(4-метилофенил)порфинато](хлоро)индия(III) и [5,10,15,20-тетра(2-тиенил)порфинато](хлоро)индия(III) были получены конъюгаты с наночастицами золота AuNPs, которые показали темновую цитотоксичность к раковым клеткам MCF-7, что делает их актуальными объектами для исследований в фотодинамической терапии [9]. Свою активность порфириновые комплексы индия(III), связанные с маг-

нитными наночастицами серебра, показали также в качестве антимикробных агентов против грамотрицательного штамма *Escherichia coli*. Однако порфириновые комплексы индия(III) могут быть интересны не только в области фотодинамической терапии. Порфириновые комплексы индия(III) также могут представлять интерес как донорные компоненты мультихромофорных супрамолекул с широким светопоглощением для солнечных батарей и оптоэлектронных приложений [10, 11]. В работе [12] сообщается о синтезе [5,10,15,20-тетрафенилпорфинато](хлоро)индия(III) ((Cl)InTPP), аксиально замещенного различными бордипирриновыми (BODIPY) хромофорами, по реакции (Cl)InTPP с BODIPY, содержащими *пара*-гидрокси- или карбоксифенильный заместитель, в обезвоженном толуоле в присутствии гидрида натрия. При избирательном возбуждении звена BODIPY заселение его первого синглетного возбужденного состояния частично сопровождается передачей энергии в низшее синглетное возбужденное состояние порфирина, т.е. фрагмент BODIPY является “фотопоглощающей антенной” по отношению к порфириновому фрагменту супрамолекулярной

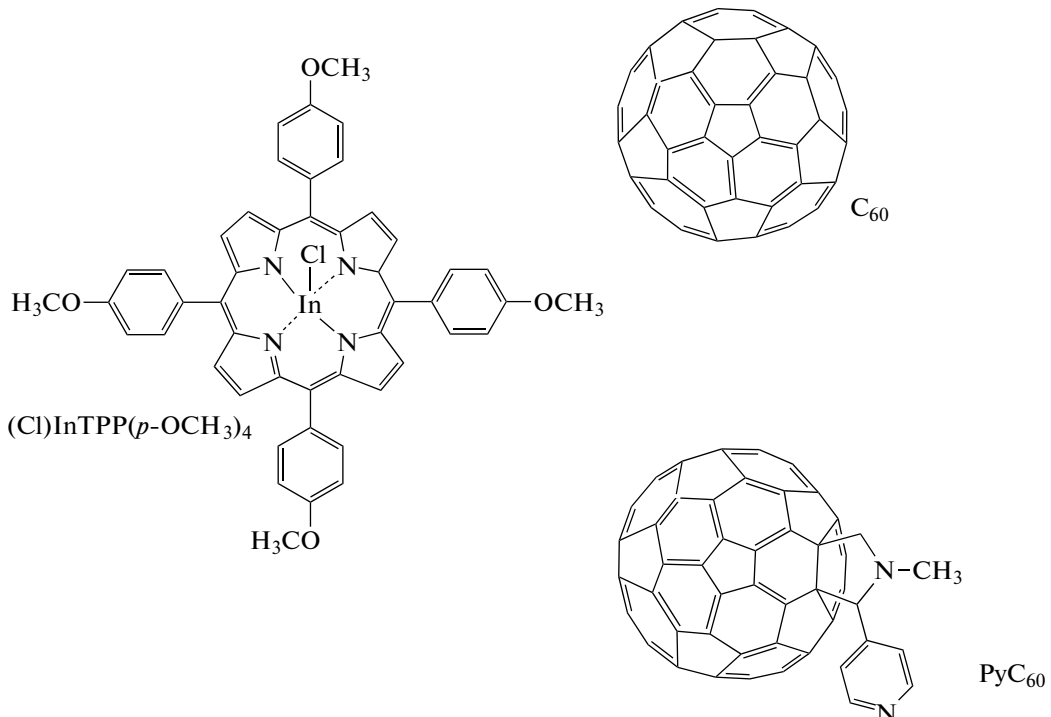


Рис. 1. Структурные формулы исследуемых соединений.

системы. Донорно-акцепторные системы на основе порфириновых комплексов индия(III) получены также и путем координационного связывания известных фуллереновых акцепторов [13–16]. Для полученных ранее донорно-акцепторных систем на основе порфириновых комплексов индия(III) и фуллерено[60]пирролидинов был предложен механизм их образования и определены основные спектральные характеристики [13, 14].

Настоящее исследование посвящено получению и анализу новых диад на основе [5,10,15,20-тетра(4-метоксифенил)порфинато](хлоро)индия(III) ( $(Cl)InTPP(p-OCH_3)_4$ ) и фуллеренов  $C_{60}$  и 1-метил-2-(пиридин-4'-ил)-3,4-фуллерено[60]пирролидина ( $PyC_{60}$ ) (рис. 1), перспективных для получения фотоактивных систем. Проведен анализ флуоресцентных свойств и сверхбыстрой динамики возбужденных состояний диад и их составных компонент.

### ЭКСПЕРИМЕНТАЛЬНАЯ ЧАСТЬ

В исследовании использовали фуллерен  $C_{60}$  (99.9%) научно-производственной компании “НеоТекПродакт”. Толуол марки “ЭКОС” осушали гидроксидом калия и перед использованием перегоняли ( $t_{\text{кип}} = 110.6^\circ\text{C}$ ).

**[5,10,15,20-тетра(4-метоксифенил)порфинато](хлоро)индий(III).**  $(Cl)InTPP(p-OCH_3)_4$  синтезировали реакцией  $H_2TPP(p-OCH_3)_4 + InCl_3 \cdot 3H_2O$  в

мольном соотношении 1 : 5 в среде кипящего фенола в течение 4 ч. После охлаждения реакционной смеси продукты экстрагировали в хлороформ, раствор многократно промывали теплой водой для удаления фенола, концентрировали путем частичной отгонки хлороформа и помещали на колонку с  $Al_2O_3$  для хроматографии с хлороформом в качестве элюента. Затем хроматографию повторяли на силикагеле, в качестве элюента использовали бензол. Электронный спектр поглощения (ЭСП) регистрировали в толуоле, взятом для дальнейших исследований. Выход 55%.

ЭСП ( $\lambda_{\text{max}}$ , нм ( $Ig\epsilon$ )): 410 (плечо), 433 (5.55), 527 (3.39), 565 (4.10), 608 (3.99). ИК-спектр в таблетках с KBr ( $\nu$ ,  $\text{cm}^{-1}$ ): 3031  $\nu(\text{C}-\text{H})_{\text{фенил}}$ ; 2998, 2956, 2930, 2835  $\nu(\text{C}-\text{H})_{\text{метил}}$ ; 1607 (скелетные колебания пиррольных колец), 1573, 1518, 1507  $\nu(\text{C}=\text{C})_{\text{фенил}}$ ; 1474, 1464, 1441, 1411  $\delta(\text{C}-\text{H})_{\text{метил}}$ ; 1339  $\nu(\text{C}-\text{N})$ ; 1287  $\delta(\text{C}-\text{H}, =\text{CH}-)$ ; 1250  $\nu_{\text{as}}(=\text{C}-\text{O}-\text{C})$ ; 1207, 1176  $\delta(\text{C}-\text{H})_{\text{фенил}}$ ; 1107, 1070, 1037, 1005 (скелетные колебания пиррольных колец), 1013  $\nu_s(=\text{C}-\text{O}-\text{C})$ ; 849, 800  $\gamma(\text{C}-\text{H}, =\text{CH}-)$ ; 726, 717, 638, 601  $\gamma(\text{C}-\text{H})_{\text{фенил}}$ . ИК-спектр в таблетках с CsBr ( $\nu$ ,  $\text{cm}^{-1}$ ): 567  $\nu_{\text{as}}(\text{In}-\text{Cl})$ ; 539  $\nu(\text{In}-\text{N})$ ; 421, 337  $\nu_s(\text{In}-\text{Cl})$ . Масс-спектр MALDI-TOF ( $m/z$ ) найдено 848.65 [ $M-\text{Cl}]^+$ ; рассчитано 883.11 для  $C_{48}\text{H}_{36}\text{N}_4\text{O}_4\text{Cl}$ .  $^1\text{H}$  ЯМР-спектр в  $CDCl_3$  ( $\delta$ , м.д.,  $J$ , Гц): 9.10 (с,  $8\text{H}_B$ ); 8.29 (д,  $4\text{H}_o$ ,  $J = 7.8$ ); 8.03 (д,  $4\text{H}_o$ ,  $J = 7.8$ ); 7.35 (д,  $4\text{H}_M$ ,  $J = 8.5$ ); 7.29 (д,  $4\text{H}_M$ ,  $J = 8.5$ ); 4.12 (с,  $12\text{H}_{-\text{OCH}_3}$ ).

**1-метил-2-(пиридин-4'-ил)-3,4-фуллеро[60]пирролидин PyC<sub>60</sub>** синтезировали по методике, представленной в работе [17], по реакции между C<sub>60</sub>, пиридин-4-карбоксиальдегидом и N-метилглицином в толуоле.

ЭСП, флуоресцентные, ИК-, <sup>1</sup>Н ЯМР- и масс-спектры регистрировали с использованием спектрофотометра Agilent 8453, спектрофлуориметра Avantas, спектрометра VERTEX 80v, спектрометра Bruker Avance III-500 и масс-спектрометра Shimadzu Confidence соответственно. Исследование времени жизни флуоресценции (Cl)InTPP(*p*-OCH<sub>3</sub>)<sub>4</sub> и диад на его основе проводили с помощью спектрофлуориметра FluoTime 300 PicoQuant. В качестве источника возбуждения использовали лазер LDH-P-C-450. Учет функции отклика прибора проводили путем измерения сигнала рассеянного света разбавленной суспензии коллоидного кремнезема (LUDOX®). Кривую затухания флуоресценции измеряли в максимуме полосы флуоресценции, время жизни флуоресценции (Cl)InTPP(*p*-OCH<sub>3</sub>)<sub>4</sub> определяли путем обработки кривой затухания с помощью пакета программ EasyTau 2 (PicoQuant).

Реакцию (Cl)InTPP(*p*-OCH<sub>3</sub>)<sub>4</sub> с PyC<sub>60</sub> или C<sub>60</sub> исследовали методами электронной спектроскопии поглощения и флуоресценции. В первом случае реакция была изучена спектрофотометрическими методами молярных отношений и избыточных концентраций (проводили измерения оптической плотности для серии растворов с постоянной концентрацией (Cl)InTPP(*p*-OCH<sub>3</sub>)<sub>4</sub> (4.5 × 10<sup>-6</sup> моль/л) и переменной концентрацией PyC<sub>60</sub> (0–1.2 × 10<sup>-4</sup> моль/л) сразу после смешивания реагентов и во времени с использованием в качестве нулевой линии спектра PyC<sub>60</sub> той же концентрации, что и в рабочем растворе), а во втором случае – методом изомолярных серий или методом Джоба (были приготовлены растворы, содержащие (Cl)InTPP(*p*-OCH<sub>3</sub>)<sub>4</sub> и C<sub>60</sub> в различных мольных соотношениях, при условии, что сумма их мольных долей в каждом растворе была равна 1).

Константа стабильности полученного комплекса (Cl)InTPP(*p*-OCH<sub>3</sub>)<sub>4</sub> с PyC<sub>60</sub> была рассчитана с использованием уравнения для трехкомпонентной системы с двумя окрашенными соединениями:

$$K = \frac{(A_i - A_0)/(A_\infty - A_0)}{1 - (A_i - A_0)/(A_\infty - A_0)} \times \frac{1}{\left( C_{\text{PyC}_{60}}^0 - C_{(\text{Cl})\text{InTPP}(p\text{-OCH}_3)_4}^0 \right) (A_i - A_0)/(A_\infty - A_0)}, \quad (1)$$

где C<sub>PyC<sub>60</sub></sub><sup>0</sup>, C<sub>(Cl)InTPP(*p*-OCH<sub>3</sub>)<sub>4</sub></sub><sup>0</sup> – начальные концентрации PyC<sub>60</sub> и (Cl)InTPP(*p*-OCH<sub>3</sub>)<sub>4</sub> в толуоле соответственно; A<sub>0</sub>, A<sub>i</sub>, A<sub>∞</sub> – оптическая плотность (Cl)InTPP(*p*-OCH<sub>3</sub>)<sub>4</sub>, равновесной смеси при

определенной концентрации фуллерена и продукта реакции. Относительная ошибка в определении K не превышала 15%. Стехиометрию реакции определяли как тангенс угла наклона прямой lg I – f(lg C<sub>PyC<sub>60</sub></sub>), где I = (A<sub>i</sub> – A<sub>0</sub>)/(A<sub>∞</sub> – A<sub>i</sub>).

Константы скорости реакций при различных концентрациях PyC<sub>60</sub> рассчитывали по уравнению (2), которое соответствует первому порядку по (Cl)InTPP(*p*-OCH<sub>3</sub>)<sub>4</sub> и смеси двух окрашенных веществ:

$$k_{3\Phi} = (1/\tau) \ln ((A_0 - A_\infty)/(A_\tau - A_\infty)). \quad (2)$$

При использовании метода флуоресценции готовили серию растворов в толуоле с постоянной концентрацией (Cl)InTPP(*p*-OCH<sub>3</sub>)<sub>4</sub> (2.3 × 10<sup>-6</sup> моль/л) и различными концентрациями C<sub>60</sub> (0–2.8 × 10<sup>-4</sup> моль/л) или PyC<sub>60</sub> (0–1.7 × 10<sup>-4</sup> моль/л). Константу Штерна–Фольмера (K<sub>SV</sub>) определяли для оценки эффективности тушения флуоресценции (Cl)InTPP(*p*-OCH<sub>3</sub>)<sub>4</sub> в присутствии C<sub>60</sub> или PyC<sub>60</sub> по уравнению (3):

$$I_0/I = 1 + K_{SV} C_{\text{фул}}, \quad (3)$$

где C<sub>фул</sub> – концентрация фуллерена, I<sub>0</sub> и I – интенсивность флуоресценции (Cl)InTPP(*p*-OCH<sub>3</sub>)<sub>4</sub> в отсутствие и при добавлении фуллерена соответственно.

Используя данные флуоресцентного титрования, рассчитывали константы устойчивости диад (K<sub>BH</sub>) по модифицированному уравнению Бенеzi–Хильдебранда (4):

$$(I_{\max} - I_0)/(I_x - I_0) = 1 + (1/K_{BH})(1/C_{\text{фул}}^n), \quad (4)$$

где I<sub>0</sub>, I<sub>x</sub>, I<sub>max</sub> – интенсивность флуоресценции (Cl)InTPP(*p*-OCH<sub>3</sub>)<sub>4</sub> при отсутствии, определенной концентрации и максимальной добавке фуллера соотвественно; n – число молекул C<sub>60</sub>/PyC<sub>60</sub>.

Исследования возбужденных электронных состояний индий(III)порфирина и супрамолекулярных систем на их основе проводили методом импульсной фемтосекундной абсорбционной спектроскопии. Разрешенные во времени дифференциальные спектры наведенного поглощения ΔA(λ, τ) измеряли в спектральном диапазоне 380–800 нм методом “возбуждение–зондирование”, описанным в работах [18, 19]. Дифференциальные спектры поглощения, возникающие при импульсном фотовозбуждении, являются разностью двух спектров исследуемых образцов: A(λ, τ) при времени задержки τ и исходного спектра поглощения раствора образца без возбуждения A<sub>0</sub>(λ):

$$\Delta A(\lambda, \tau) = A(\lambda, \tau) - A_0(\lambda). \quad (5)$$

Измеренные спектры подвергали коррекции, учитывающей дисперсию групповой скорости континуума, по процедуре, описанной в работах [20, 21]. Эксперименты выполняли при темпера-

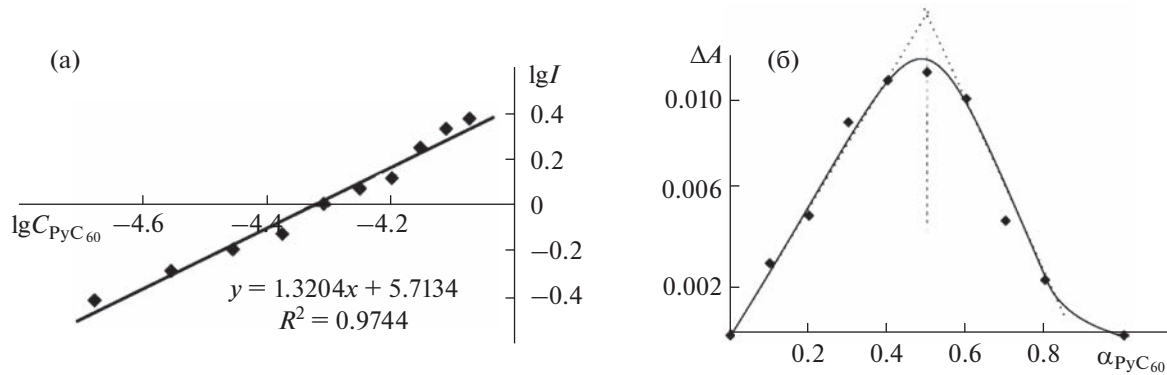


Рис. 2. Зависимость  $\lg I - \lg C_{\text{PyC}_60}$  для реакции  $(\text{Cl})\text{InTPP}(p\text{-OCH}_3)_4$  с  $\text{PyC}_60$  (а) и зависимость Джоба для системы  $(\text{Cl})\text{InTPP}(p\text{-OCH}_3)_4\text{-C}_60$  (б) в толуоле при 298 К.

туре 298 К в 0.5 мм оптической кювете в атмосфере азота, чтобы избежать контакта раствора пробы с воздухом. Анализ временных характеристик дифференциальных спектров осуществляли с помощью кинетического моделирования на основе сингулярного разложения матрицы полученных данных. Используемый подход предполагает рассмотрение всего массива экспериментальных значений  $\Delta A(\lambda, t)$ , где  $\Delta A$  отображает фотоиндуцированные изменения оптической плотности исследуемого образца (просветление и наведенное поглощение). Экспоненциальную обработку полученных данных на длине волны максимума поглощения возбужденного состояния использовали для определения времени жизни возбужденного состояния.

## ОБСУЖДЕНИЕ РЕЗУЛЬТАТОВ

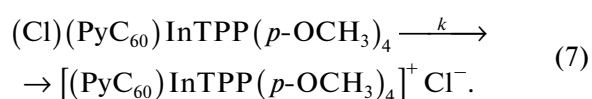
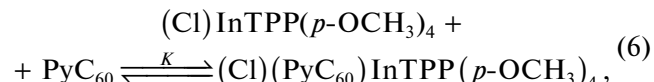
Исследование реакций  $(\text{Cl})\text{InTPP}(p\text{-OCH}_3)_4$  с фуллеренами спектральными методами наряду с физико-химическим анализом их продуктов показало, что образование диады с незамещенным  $C_{60}$  происходит за счет межмолекулярных взаимодействий, тогда как  $\text{PyC}_{60}$  координируется по центральному атому металла.

Сразу после слияния растворов  $(\text{Cl})\text{InTPP}(p\text{-OCH}_3)_4$  с  $\text{PyC}_{60}$  в каждой точке титрования устанавливается равновесие. В ходе титрования в ЭСП наблюдается уменьшение интенсивности

полосы Соре (433 нм) с сохранением изобестнических точек. По данным графика зависимости  $\lg I - f(\lg C_{\text{PyC}_60})$ , стехиометрия взаимодействия составляет приблизительно 1 : 1 (рис. 2а), что подтверждается также флуоресцентным титрованием (описано ниже). Константа равновесия  $K$  составляет  $(2.1 \pm 0.24) \times 10^4$  л/моль.

После быстрого установления равновесия во всех равновесных смесях с различным содержанием  $\text{PyC}_{60}$  наблюдается медленный необратимый процесс, который сопровождается уменьшением интенсивности полосы Соре при 433 нм и батохромным смещением полосы поглощения при 565 нм на 2 нм (рис. 3). Установлено, что кинетика реакции характеризуется первым порядком по концентрации  $(\text{Cl})\text{InTPP}(p\text{-OCH}_3)_4$ , определены эффективные константы скорости (табл. 1). Константы  $k_{\text{эфф}}$  не зависят от  $C_{\text{PyC}_60}$  в пределах ошибки, что указывает на нулевой порядок кинетики реакции по  $C_{\text{PyC}_60}$ . Не зависящая от концентраций константа скорости  $k$ , рассчитанная как среднеарифметическое значение  $k_{\text{эфф}}$ , составляет  $(4.5 \pm 0.3) \times 10^{-4} \text{ с}^{-1}$ .

Согласно представленным данным, реакция  $(\text{Cl})\text{InTPP}(p\text{-OCH}_3)_4$  с  $\text{PyC}_{60}$  протекает через быстрое равновесие и последующую одностороннюю реакцию с образованием порфирина-фуллероновой диады с внутрисферным (уравнение (6)) и внешнесферным (уравнение (7)) хлорид-ионом:



Эта реакция повторяет картину взаимодействия изоструктурного комплекса индия  $(\text{Cl})\text{InTPP}(p\text{-OCH}_3)_4$  с 2'-(пиридин-4-ил)-5'-(пиридин-2-ил)-1'-(пиридин-2-ил)метил-3,4-фуллерено[60]пирро-

Таблица 1. Эффективные константы скорости  $k_{\text{эфф}}$  реакции  $(\text{Cl})\text{InTPP}(p\text{-OCH}_3)_4$  с  $\text{PyC}_{60}$  в толуоле при 298 К

$C_{\text{PyC}_60} \times 10^5$ , моль/л	$k_{\text{эфф}} \times 10^4$ , $\text{с}^{-1}$
4.93	$4.34 \pm 0.37$
5.63	$4.81 \pm 0.30$
6.34	$4.35 \pm 0.35$
7.71	$4.46 \pm 0.25$
$k = (4.49 \pm 0.31) \times 10^{-4} \text{ с}^{-1}$	

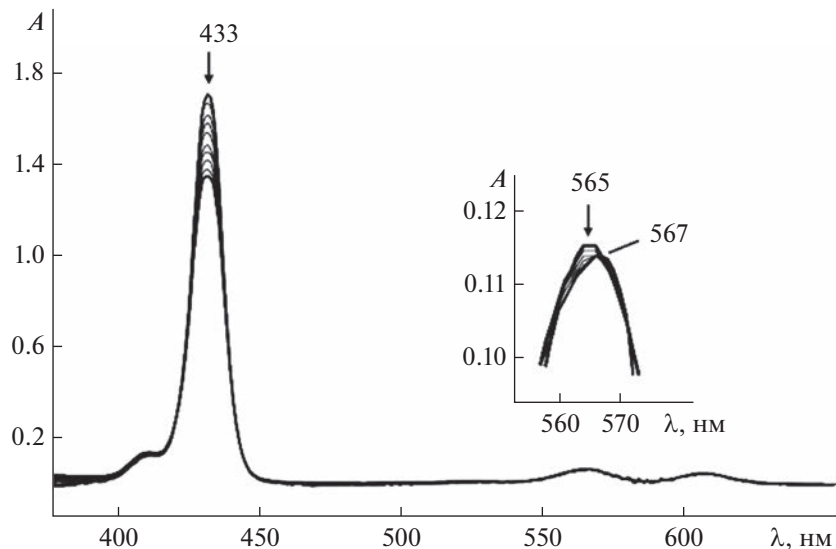


Рис. 3. Изменение ЭСП  $(\text{Cl})\text{InTPP}(p\text{-OCH}_3)_4$  в системе толуол— $7.71 \times 10^{-5}$  моль/л  $\text{PyC}_{60}$  в течение 3 ч.

лидином ( $\text{Py}_3\text{C}_{60}$ ) [14]. Константа устойчивости комплекса  $(\text{Cl})\text{InTPP}(o\text{-OCH}_3)_4$  с  $\text{Py}_3\text{C}_{60}$  ниже на порядок ( $(2.3 \pm 0.3) \times 10^3$  л/моль), что, вероятно, связано с пространственными эффектами.

Для реакции  $(\text{Cl})\text{InTPP}(p\text{-OCH}_3)_4$  с  $\text{C}_{60}$  стехиометрия была определена методом Джоба, который применяется при изучении супрамолекулярных систем [22, 23]. По данным соответствующего графика Джоба установлен стехиометрический состав продукта реакции 1 : 1 (рис. 2б).

Спектр флуоресценции  $(\text{Cl})\text{InTPP}(p\text{-OCH}_3)_4$  при возбуждении импульсом с длиной волны 430 нм имеет две полосы испускания при 618 и 671 нм. Время жизни флуоресценции ( $\tau_F$ )  $(\text{Cl})\text{InTPP}(p\text{-OCH}_3)_4$  составило 0.34 нс в толуоле (параметр  $\chi^2$  качества аппроксимации двухэкспоненциальной зависимости составил 1.40), значение которого практически не отличается от  $\tau_F$ , определенного в  $\text{CH}_2\text{Cl}_2$  (0.31 нс) [8]. Фуллерен  $\text{C}_{60}$  и его производные также обладают флуоресценцией [24, 25], однако она намного слабее флуоресценции  $(\text{Cl})\text{InTPP}(p\text{-OCH}_3)_4$  (например, квантовый выход флуоресценции [5, 10, 15, 20-тетра(4-пиридил)порфинато](хлоро)индия(III) составляет 0.015 [26]) и не наблюдается при возбуждении диодным источником света с длиной волны 430 нм. Квантовый выход флуоресценции  $\text{C}_{60}$  и  $\text{PyC}_{60}$  составляет  $2.6 \times 10^{-4}$  и  $5.3 \times 10^{-4}$  [27] соответственно. Поэтому было проведено исследование флуоресценции  $(\text{Cl})\text{InTPP}(p\text{-OCH}_3)_4$  с различными добавками  $\text{C}_{60}$  или  $\text{PyC}_{60}$  в толуоле и установлено, что имеет место ее гашение при постепенном добавлении фуллеренов (рис. 4).

Из рис. 4 определено уменьшение интенсивности флуоресценции на 36 и 64% при взаимо-

действии  $(\text{Cl})\text{InTPP}(p\text{-OCH}_3)_4$  с  $\text{C}_{60}$  и  $\text{PyC}_{60}$  соответственно. Во всем исследуемом концентрационном (по фуллерену) диапазоне наблюдаются прямолинейные зависимости в координатах уравнения Штерна–Фольмера (рис. 5). Значения констант тушения  $K_{\text{SV}}$  составляют  $1.58 \times 10^3$  л/моль и  $8.15 \times 10^3$  л/моль в случае реакции с  $\text{C}_{60}$  и  $\text{PyC}_{60}$  соответственно. Константы устойчивости указанных диад, обозначенные в рамках метода как константы стабильности  $K_{\text{BH}}$ , равны  $(2.85 \pm 0.58) \times 10^4$  (значение  $K$ , по данным спектрофотометрического титрования, равно  $(2.1 \pm 0.24) \times 10^4$  и  $(5.9 \pm 1.7) \times 10^3$  л/моль соответственно для  $[(\text{PyC}_{60})\text{InTPP}(p\text{-OCH}_3)_4]^+ \text{Cl}^-$  и  $(\text{C}_{60})(\text{Cl})\text{InTPP}(p\text{-OCH}_3)_4$ ).  $K_{\text{BH}}$  для аксиально координированного комплекса  $[(\text{PyC}_{60})\text{InTPP}(p\text{-OCH}_3)_4]^+ \text{Cl}^-$  в 3 раза выше, чем для диады с  $\text{C}_{60}$ , образованной за счет межмолекулярного взаимодействия.

Образование новых донорно-акцепторных диад  $(\text{Cl})\text{InTPP}(p\text{-OCH}_3)_4$  с  $\text{C}_{60}$  и  $\text{PyC}_{60}$  было дополнительно подтверждено данными  $^1\text{H}$  ЯМР- и ИК-спектроскопии.  $^1\text{H}$  ЯМР-спектр  $(\text{Cl})\text{InTPP}(p\text{-OCH}_3)_4$  в  $\text{CDCl}_3$  (см. Экспериментальную часть) указывает на его диамагнитную природу [28, 29]. Сигнал  $\beta$ -протонов проявляется в виде синглета при 9.1 м.д. Магнитная неэквивалентность орто- и мета-фенильных протонов [8], которая проявляется в виде набора дублетов при 8.29, 8.03 и 7.35, 7.29 м.д. соответственно, связана с внеплоскостным расположением атома индия в координационном пространстве макроцикла [8]. При добавлении к раствору  $(\text{Cl})\text{InTPP}(p\text{-OCH}_3)_4$  в  $\text{CDCl}_3$  незамещенного  $\text{C}_{60}$  вид спектра не меняется, наблюдается лишь незначительный сдвиг  $\text{H}_\beta$  и

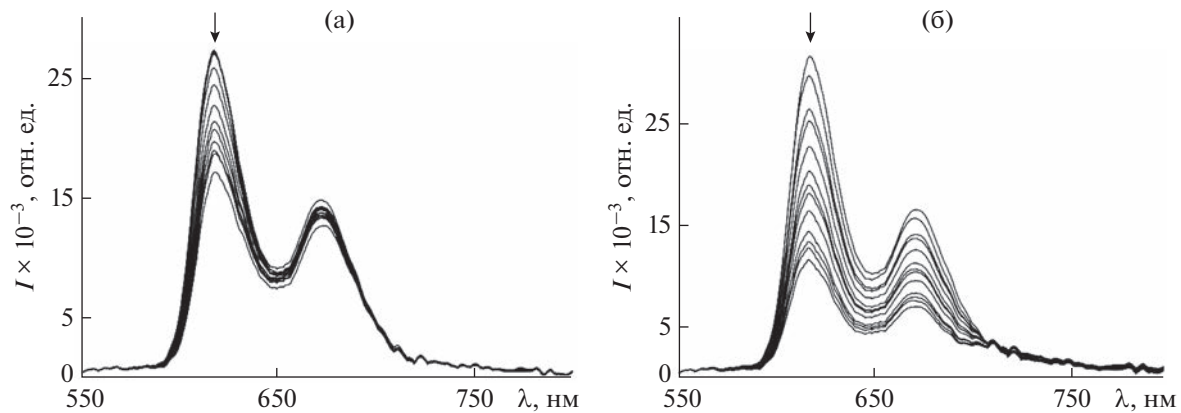


Рис. 4. Спектры флуоресценции  $(Cl)InTPP(p-OCH_3)_4$  в толуоле с увеличением добавок  $C_{60}$  ( $0-2.8 \times 10^{-4}$  моль/л) (а) и  $PyC_{60}$  ( $0-1.7 \times 10^{-4}$  моль/л) (б),  $\lambda_{exc} = 430$  нм.

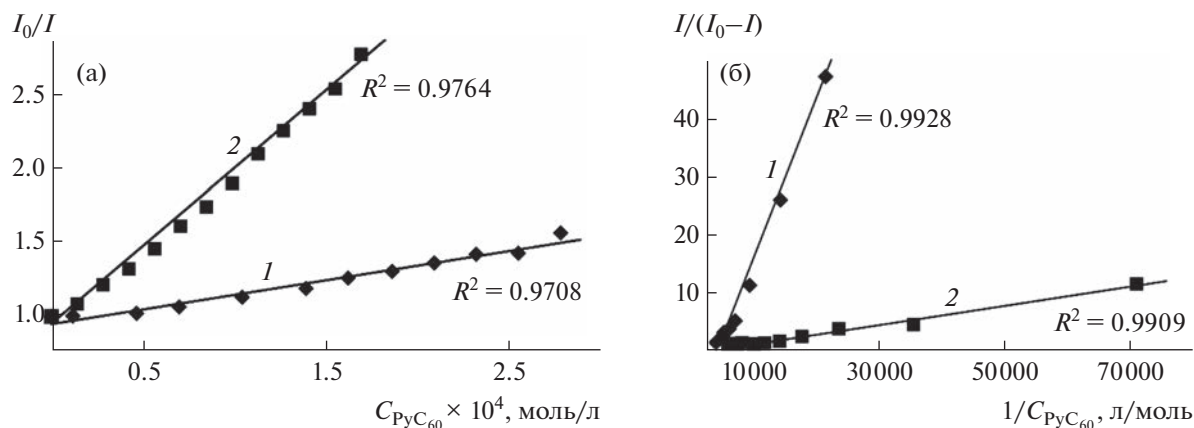


Рис. 5. Графики зависимости Штерна–Фольмера (а) и Бенези–Хилдебранда (б) для систем  $(Cl)InTPP(p-OCH_3)_4$  с  $C_{60}$  (1) и  $PyC_{60}$  (2).

$H_o$ -протонов (на 0.01 м.д.) в сильное поле. Небольшой сдвиг сигналов протонов порфиринового макроцикла можно наблюдать и при образовании диады  $(Cl)InTPP(p-OCH_3)_4$  с  $PyC_{60}$  –  $H_\beta$ - и  $H_o$ -протоны сдвигаются на 0.02 м.д. в сильное поле. Более чувствительными к образованию диады оказались протоны  $PyC_{60}$  (табл. 2). Протоны пиридинового и метильного заместителей сдвинуты в сильное поле на 0.04–0.08 м.д. по сравнению с сигналами некоординированного  $PyC_{60}$ . Наибольший сдвиг претерпевают протоны пирролидинового кольца, которые проявляются в спектре диады в виде трех синглетов при 4.88, 4.86 и 4.83 м.д. Полученные данные ЯМР-спектроскопии подтверждают факт образования в растворе донорно-акцепторных диад, в которых еще не происходит процесс разделения зарядов с образованием катион-радикала порфиринового комплекса индия и анион-радикала фуллерена, для реализации которого необходимо фотовозбуждение.

В ИК-спектре  $(C_{60})(Cl)InTPP(p-OCH_3)_4$  в KBr преобладают сигналы колебаний порфиринового макроцикла на тех же или немного сдвинутых частотах по сравнению с частотами некоординированного индий(III)порфирина. Четыре пика при 1429, 1182, 577 и 527  $\text{см}^{-1}$  соответствуют колебаниям фуллеренового каркаса [30] (рис. 6б). В случае диады с  $PyC_{60}$  наряду с сигналами от фуллеренового каркаса, сохраняющими свое положение, присутствуют максимумы колебаний пиридинового и пирролидинового фрагментов. Они проявляются в основном в области 800–400  $\text{см}^{-1}$  и смешены на 1–15  $\text{см}^{-1}$  по сравнению с частотами колебаний исходного  $PyC_{60}$  (рис. 6в). Пики колебаний связей  $In-N_{PyC_{60}}$  и  $In-Cl$  в спектре диады обнаружить не удалось. Слабые сигналы, отвечающие колебаниям связи  $In-N$  и  $In-Cl$ , наблюдаются в области 540–520 и 350–330  $\text{см}^{-1}$  [8, 28, 31]. В случае  $[(PyC_{60})InTPP(p-OCH_3)_4]^+Cl^-$  они перекрываются интенсивными пиками колебаний  $PyC_{60}$ .

Таблица 2. Сигналы PyC<sub>60</sub> в <sup>1</sup>H ЯМР-спектрах в CDCl<sub>3</sub>

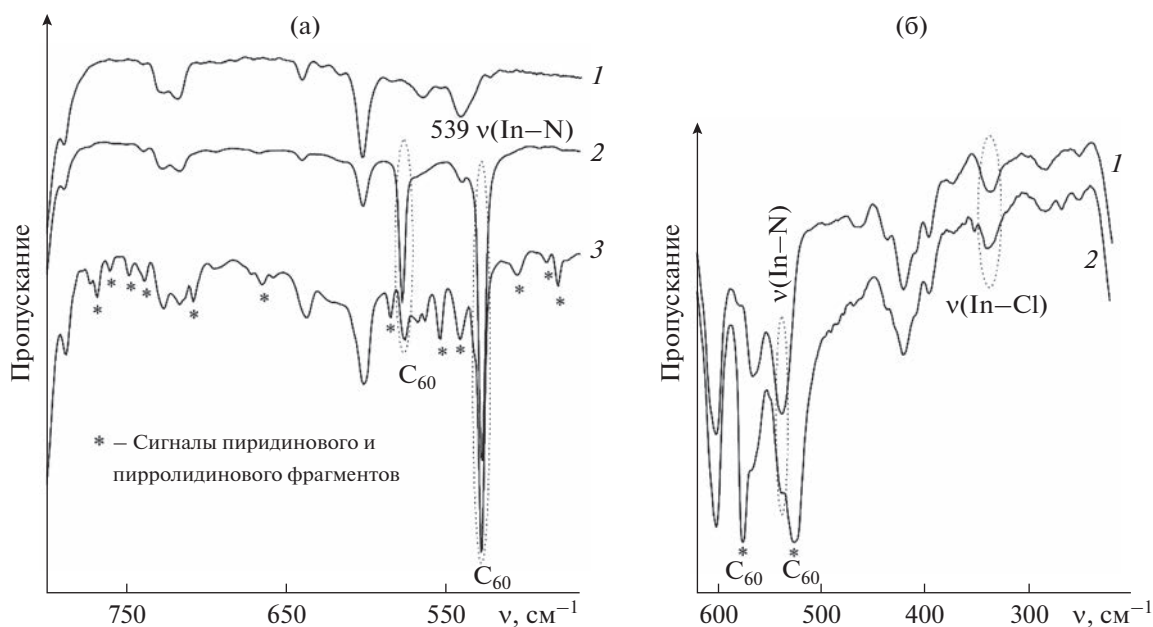
Сигналы PyC <sub>60</sub> δ, м. д.; J, Гц					
PyC <sub>60</sub>					
8.71 (д, 2H <sub>Py</sub> , J = 5.49)	7.82 (м, 2H <sub>Py</sub> )	5.02 (д, 1H, J = 9.77) [(PyC <sub>60</sub> )InTPP( <i>p</i> -OCH <sub>3</sub> ) <sub>4</sub> ] <sup>+</sup> Cl <sup>-</sup>	4.96 (с, 1H)	4.31 (д, 1H, J = 9.77)	2.83 (с, 3H <sub>-CH<sub>3</sub></sub> )
8.67 (д, 2H <sub>Py</sub> , J = 5.0)	7.74 (уш. с, 2H <sub>Py</sub> )	4.88 (с, 1H)	4.86 (с, 1H)	4.83 (с, 1H)	2.77 (с, 3H <sub>-CH<sub>3</sub></sub> )

В случае (C<sub>60</sub>)(Cl)InTPP(*p*-OCH<sub>3</sub>)<sub>4</sub> колебания связей In–N и In–Cl наблюдаются в ИК-спектре диады в CsBr и их положение не меняется, что указывает на присутствие иона Cl<sup>-</sup> в первой координационной сфере.

Наличие удиад свойства фотоиндуцированного переноса заряда выявлено с использованием фемтосекундной импульсной лазерной спектроскопии. Дифференциальные спектры поглощения (Cl)InTPP(*p*-OCH<sub>3</sub>)<sub>4</sub> в деаэрированном толуоле представлены на рис. 7. После возбуждения (Cl)InTPP(*p*-OCH<sub>3</sub>)<sub>4</sub> импульсом с длиной волны 435 нм наблюдается отрицательное и положительное разностное поглощение, отвечающее соответственно выцветанию хромофора в основном состоянии (bleaching bands, BL) и образованию возбужденного состояния (excited state absorption bands, ESA). BL-полосы при 434 нм и в области 560–610 нм соответствуют положению полос Соре и Q, наблюдаемым в стационарном ЭСП. Широкая интенсивная полоса поглощения с макси-

мумом при 458 нм отвечает синглетному возбужденному состоянию <sup>1\*</sup>((Cl)InTPP(*p*-OCH<sub>3</sub>)<sub>4</sub>) [32]. Анализ кинетики нестационарного поглощения при 458 нм (рис. 7, вставка) при коротких временах задержки выявил компоненту быстрого нарастания с постоянной времени всего 0.39 пс. Ее можно интерпретировать как время образования <sup>1\*</sup>((Cl)InTPP(*p*-OCH<sub>3</sub>)<sub>4</sub>) ( $\tau_1$ ). Время жизни в синглетном возбужденном состоянии ( $\tau_2$ ) было рассчитано моноэкспоненциальной обработкой профиля затухания при 458 нм и оказалось равным 292.4 пс.

По мере уменьшения сигнала <sup>1\*</sup>((Cl)InTPP(*p*-OCH<sub>3</sub>)<sub>4</sub>) при 458 нм происходит одновременное нарастание сигнала с максимумом при 502 нм с изобистической точкой при 489 нм (рис. 7). Кинетический профиль при 502 нм был обработан моноэкспоненциальной функцией роста. Полученная постоянная времени жизни 263.34 пс согласуется с постоянной времени затухания сигнала при 458 нм. Согласно данным [32], пик при 502 нм может быть идентифицирован как поглощение возбужденного

Рис. 6. ИК-спектры (Cl)InTPP(*p*-OCH<sub>3</sub>)<sub>4</sub> (1) и его диад с C<sub>60</sub> (2) и PyC<sub>60</sub> (3) в KBr (а) и CsBr (б).

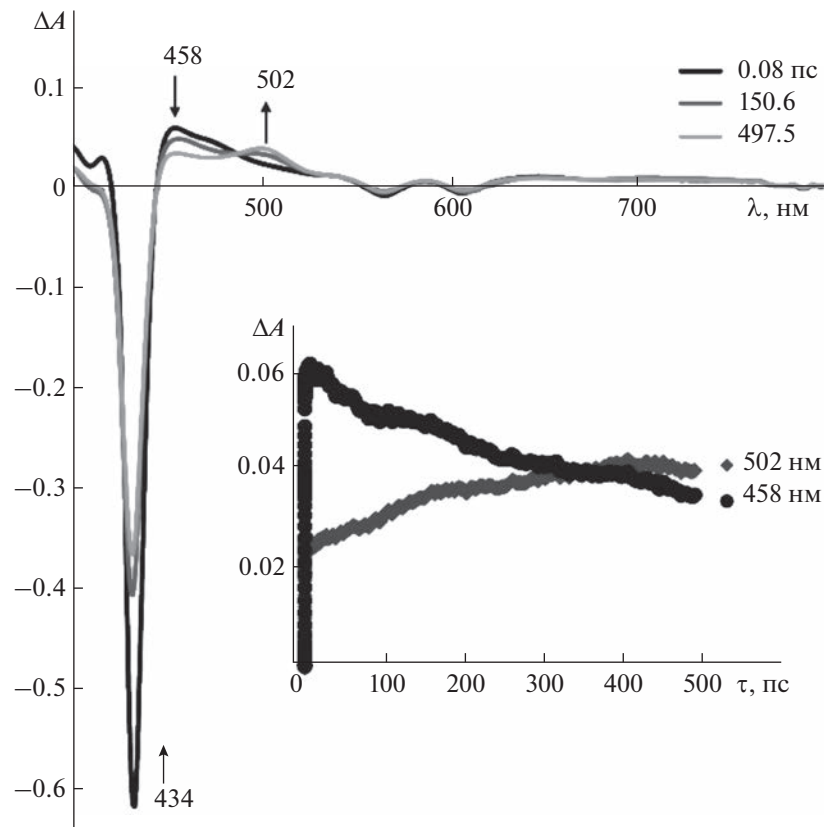


Рис. 7. Дифференциальные спектры поглощения  $(\text{Cl})\text{InTPP}(p\text{-OCH}_3)_4$  в толуоле при  $\lambda_{\text{exc}} = 435$  нм (на вставке – соответствующие кинетические кривые).

триплетного состояния  $(\text{Cl})\text{InTPP}(p\text{-OCH}_3)_4$ . Такой вывод был сделан на основании подобия дифференциальных спектров поглощения, снятых в фемтосекундном и наносекундном диапазонах, и на основании согласования времени распада возбужденного синглетного состояния с временем ростом триплета для (5,10,15,20-тетракис(4-гидроксифенил)порфинато)цинка(II) [32].

Спектральные изменения в случае диад  $(C_60)(\text{Cl})\text{InTPP}(p\text{-OCH}_3)_4$  и  $[(\text{PyC}_60)\text{InTPP}(p\text{-OCH}_3)_4]^+\text{Cl}^-$  в области 400–800 нм напоминают динамику дифференциальных спектров поглощения  $(\text{Cl})\text{InTPP}(p\text{-OCH}_3)_4$  и отражают образование возбужденного состояния  ${}^1\text{((Cl)}\text{InTPP}(p\text{-OCH}_3)_4$  в виде пиков при 459 и 458 нм соответственно (рис. S1). В случае переноса электрона с  ${}^1\text{((Cl)}\text{InTPP}(p\text{-OCH}_3)_4$  на фуллерен спектральные отличия диад можно ожидать в ближней ИК-области в виде появления поглощения  $\pi$ -анион-радикальной формы фуллерена в диапазоне 950–1020 нм [33, 34]. Возможности приборной установки, а именно узкий спектральный диапазон, не позволяют зафиксировать полосу  $C_60^-/\text{PyC}_60^-$ . Однако об образовании состояний с разделенными зарядами в диадах можно судить по измене-

нию  $\tau_1$  и  $\tau_2$  для  ${}^1\text{((Cl)}\text{InTPP}(p\text{-OCH}_3)_4$  и константам скорости разделения ( $k_{\text{CS}}$ ) и рекомбинации ( $k_{\text{CR}}$ ) зарядов в диадах (табл. 3). Анализ данных табл. 3 показывает, что величина  $k_{\text{CR}}$  для диад на три порядка меньше, чем значения  $k_{\text{CS}}$ . Такая тенденция обычно наблюдается для порфири- и фталоцианин-фуллереновых диад из-за низкой энергии реорганизации фуллерена [33, 35].

В табл. S1 для сравнения представлены времена жизни и константы скорости образования и рекомбинации состояний с разделенными зарядами для других донорно-акцепторных диад и триад (донорно-акцепторная диада с дополнительной координированной молекулой замещенного фуллерена) координационной природы.

По этим данным, несмотря на несколько более высокие значения времени образования по сравнению с производными  $\text{Co}^{2+}$  и  $\text{Mn}^{3+}$ , явным преимуществом диад на основе  $(\text{Cl})\text{InTPP}(p\text{-OCH}_3)_4$  являются на порядок более высокие времена жизни  $\tau_2$  и низкие значения констант скорости  $k_{\text{CR}}$  рекомбинации состояний с разделенными зарядами типа радикальных солей. Как коррелируют эти параметры с устойчивостью диад? Ответ мож-

**Таблица 3.** Длина волны поглощения с временным профилем ( $\lambda$ , нм), времена образования и жизни возбужденного состояния ( $\tau_1$ ,  $\tau_2$ ) и константы скорости разделения ( $k_{CS}$ ) и рекомбинации ( $k_{CR}$ ) зарядов в диадах в толуоле

Комплекс	$\lambda$ , нм	$\tau_1$ , пс	$k_{CS}$ , $\text{с}^{-1}$	$\tau_2$ , пс	$k_{CR}$ , $\text{с}^{-1}$
(Cl)InTPP( <i>p</i> -OCH <sub>3</sub> ) <sub>4</sub>	458	0.39		292.4	
(C <sub>60</sub> )(Cl)InTPP( <i>p</i> -OCH <sub>3</sub> ) <sub>4</sub>	459	0.39	2.6 × 10 <sup>12</sup>	219.9	4.5 × 10 <sup>9</sup>
[PyC <sub>60</sub> ]InTPP( <i>p</i> -OCH <sub>3</sub> ) <sub>4</sub> ] <sup>+</sup> Cl <sup>-</sup>	458	0.46	2.2 × 10 <sup>12</sup>	208.9	4.8 × 10 <sup>9</sup>

но получить из данных табл. S2 для этих же фотоактивных систем.

Как видно из табл. S2, более низкой устойчивостью (в пределах одного–полутора порядков) по сравнению с диадами на основе (Cl)InTPP(*p*-OCH<sub>3</sub>)<sub>4</sub> обладает только диада [(PyC<sub>60</sub>)MnPc(3-CF<sub>3</sub>Ph)<sub>8</sub>]<sup>+</sup>AcO<sup>-</sup>. Возможно, именно это объясняет улучшение фотофизических параметров индий-содержащих диад.

## ЗАКЛЮЧЕНИЕ

Охарактеризованы реакции (Cl)InTPP(*p*-OCH<sub>3</sub>)<sub>4</sub> с фуллеренами C<sub>60</sub> и PyC<sub>60</sub> как процессы самосборки в диады за счет межмолекулярного взаимодействия и аксиальной координации соответственно. Определены параметры устойчивости диад и их фотофизические свойства. Выявлено тушение флуоресценции (Cl)InTPP(*p*-OCH<sub>3</sub>)<sub>4</sub> в составе диад. Впервые получены численные значения времени жизни состояний с разделенными зарядами и константы скорости разделения/рекомбинации зарядов для (Cl)InTPP(*p*-OCH<sub>3</sub>)<sub>4</sub> и его диад с C<sub>60</sub> и PyC<sub>60</sub>. Ввиду того, что диады на основе порфириновых комплексов индия(III) и фуллеренов слабо представлены в мировой литературе, несмотря на их сравнительную простоту приготовления и возможность применения в органических фотovoltaических преобразователях [36], полученные в настоящей работе результаты расширяют представления о способах получения и фотофизическими свойствах диад фуллеренов с порфиринатами индия.

## БЛАГОДАРНОСТЬ

Авторы выражают признательность за проведение исследований методом фемтосекундной импульсной лазерной спектроскопии проф. д. х. н. В.А. Надточенко, к. х. н. И.В. Шелаеву и Ф.Е. Гостеву. Работа выполнена на оборудовании Федерального исследовательского центра химической физики им. Н.Н. Семенова РАН (№ 1440743, 506694) (Москва) и Центра коллективного пользования научным оборудованием “Верхневолжский региональный центр физико-химических исследований”.

## ФИНАНСИРОВАНИЕ РАБОТЫ

Работа выполнена при финансовой поддержке Российского научного фонда (грант № 21-73-20090).

## КОНФЛИКТ ИНТЕРЕСОВ

Авторы заявляют об отсутствии конфликта интересов.

## ДОПОЛНИТЕЛЬНАЯ ИНФОРМАЦИЯ

Онлайн-версия содержит дополнительные материалы, доступные по адресу <https://doi.org/10.31857/S0044457X23600652>

## СПИСОК ЛИТЕРАТУРЫ

1. Amati A., Cavigli P., Kahnt A. et al. // J. Phys. Chem. A. 2017. V. 121. № 22. P. 4242. <https://doi.org/10.1021/acs.jpca.7b02973>
2. Бичан Н.Г., Овченкова Е.Н., Мозгова В.А. и др. // Журн. неорган. химии. 2019. Т. 64. № 5. С. 490. <https://doi.org/10.1134/S0044457X19050027>
3. Borges-Martínez M., Montenegro-Pohlhammer N., Zhang X. et al. // Spectrochim. Acta. Part A: Mol. Biomol. Spectrosc. 2022. V. 269. P. 120740. <https://doi.org/10.1016/j.saa.2021.120740>
4. Chitta R., Badgurjar D., Reddy G. et al. // J. Porphyrins Phthalocyanines. 2021. V. 25. № 5–6. P. 469. <https://doi.org/10.1142/S1088424621500395>
5. Койфман О.И., Агеева Т.А. // Высокомолекулярные соединения. Сер. С. 2014. Т. 56. № 1. С. 89. <https://doi.org/10.7868/S2308114714010051>
6. Цивадзе А.Ю., Чернядьев А.Ю. // Журн. неорган. химии. 2020. Т. 65. № 11. С. 1469. <https://doi.org/10.31857/S0044457X20110197>
7. Моторина Е.В., Климова И.А., Бичан Н.Г. и др. // Журн. неорган. химии. 2022. Т. 67. № 12. С. 1779. <https://doi.org/10.31857/S0044457X22600712>
8. Dechan P., Bajju G.D. // J. Mol. Struct. 2019. V. 1195. P. 140. <https://doi.org/10.1016/j.molstruc.2019.05.120>
9. Soy R.C., Babu B., Oluwole D.O. et al. // J. Porphyrins Phthalocyanines. 2019. V. 23. № 1–2. P. 34. <https://doi.org/10.1142/S1088424618501146>
10. Bagaki A., Gobez H.B., Charalambidis G. et al. // Inorg. Chem. 2017. V. 56. № 17. P. 10268. <https://doi.org/10.1021/acs.inorgchem.7b01050>
11. Yang F., Wu Y., Zhao J. et al. // Phys. Chem. Chem. Phys. 2020. V. 22. № 36. P. 20891. <https://doi.org/10.1039/D0CP02672G>

12. *Panda M.K., Lazarides T., Charalambidis G. et al.* // Eur. J. Inorg. Chem. 2015. V. 2015. № 3. P. 468. <https://doi.org/10.1002/ejic.201402902>
13. *Lomova T.N., Malov M.E., Klyuev M.V. et al.* // Macroheterocycles. 2009. V. 2. № 2. P. 164. <https://doi.org/10.6060/mhc2009.2.164>
14. *Овченкова Е.Н., Бичан Н.Г., Ломова Т.Н.* // Журн. неорган. химии. 2018. Т. 63. № 3. С. 367.
15. *Lomova T.N., Malov M.E., Klyuev M.V. et al.* // Adv. Mater. Sci. Research. N.Y.: Nova Science Publishers, 2011. V. 2. P. 143.
16. *Ломова Т.Н., Моторина Е.В., Тюляева Е.Ю. и др.* // Успехи химии порфиринов. 2007. Т. 5. С. 114.
17. *Prato M., Maggini M., Giacometti C. et al.* // Tetrahedron. 1996. V. 52. № 14. P. 5221. [https://doi.org/10.1016/0040-4020\(96\)00126-3](https://doi.org/10.1016/0040-4020(96)00126-3)
18. *Bichan N.G., Ovchenkova E.N., Ksenofontov A.A. et al.* // Dyes and Pigments. 2022. V. 204. P. 110470. <https://doi.org/10.1016/j.dyepig.2022.110470>
19. *Михайлов К.М., Шелаев И.В., Гостев Ф.Е. и др.* // Химия высоких энергий. 2014. Т. 48. № 4. С. 319. <https://doi.org/10.7868/S0023119714040115>
20. *Shelaev I.V., Gostev F.E., Vishnev M.I. et al.* // J. Photochem. Photobiol. B: Biology. 2011. V. 104. № 1. P. 44. <https://doi.org/10.1016/j.jphotobiol.2011.02.003>
21. *Kovalenko S.A., Dobryakov A.L., Ruthmann J. et al.* // Phys. Rev. A. 1999. V. 59. № 3. P. 2369. <https://doi.org/10.1103/PhysRevA.59.2369>
22. *Nayak S., Ray A., Bhattacharya S.* // J. Mol. Liq. 2021. V. 321. P. 114367. <https://doi.org/10.1016/j.molliq.2020.114367>
23. *Nayak S., Ray A., Bhattacharya S. et al.* // J. Mol. Liq. 2019. V. 290. P. 110842. <https://doi.org/10.1016/j.molliq.2019.04.119>
24. *Ma B., Sun Y.-P.* // J. Chem. Soc., Perkin Trans. 2. 1996. № 10. P. 2157. <https://doi.org/10.1039/P29960002157>
25. *Brites M.J., Santos C., Nascimento S. et al.* // New J. Chem. 2006. V. 30. № 7. P. 1036. <https://doi.org/10.1039/B601649A>
26. *Makola L.C., Mgidlana S., Nyokong T.* // Dyes and Pigments. 2021. V. 192. P. 109262. <https://doi.org/10.1016/j.dyepig.2021.109262>
27. *Bichan N.G., Ovchenkova E.N., Mozgova V.A. et al.* // Molecules. 2022. V. 27. P. 8900. <https://doi.org/10.3390/molecules27248900>
28. *Bajju G.D., Ahmed A., Gupta D. et al.* // Bioinorg. Chem. Appl. 2014. V. 2014. P. 865407. <https://doi.org/10.1155/2014/865407>
29. *Scheer H., Katz J.J.* // Porphyrins and Metalloporphyrins: A New Edition Based on the Original Volume. Amsterdam: Elsevier, 1975. P. 399.
30. *Bethune D.S., Meijer G., Tang W.C. et al.* // Chem. Phys. Lett. 1991. V. 179. № 1. P. 181. [https://doi.org/10.1016/0009-2614\(91\)90312-W](https://doi.org/10.1016/0009-2614(91)90312-W)
31. *Burtsev I.D., Platonova Y.B., Volov A.N. et al.* // Polyhedron. 2020. V. 188. P. 114697. <https://doi.org/10.1016/j.poly.2020.114697>
32. *Gacka E., Burdzinski G., Marciniaik B. et al.* // Phys. Chem. Chem. Phys. 2020. V. 22. № 24. P. 13456. <https://doi.org/10.1039/D0CP02545C>
33. *Seetharaman S., Jang Y., Kc C. et al.* // J. Porphyrins Phthalocyanines. 2018. V. 21. P. 1. <https://doi.org/10.1142/s1088424617500924>
34. *Guldi D.M., Rahman G.M.A., Jux N. et al.* // J. Am. Chem. Soc. 2005. V. 127. № 27. P. 9830. <https://doi.org/10.1021/ja050930o>
35. *Das S.K., Song B., Mahler A. et al.* // J. Phys. Chem. C. 2014. V. 118. № 8. P. 3994. <https://doi.org/10.1021/jp4118166>
36. *Dammer S.J., Solntsev P.V., Sabin J.R. et al.* // Inorg. Chem. 2013. V. 52. № 16. P. 9496. <https://doi.org/10.1021/ic401163y>